

Nel caso della potenza minima:

$$P_p = \frac{2}{\sqrt{27}} W^{3/2} \sqrt{\frac{64}{\rho^2 \pi^3}} \sqrt{b_e^6 f}$$

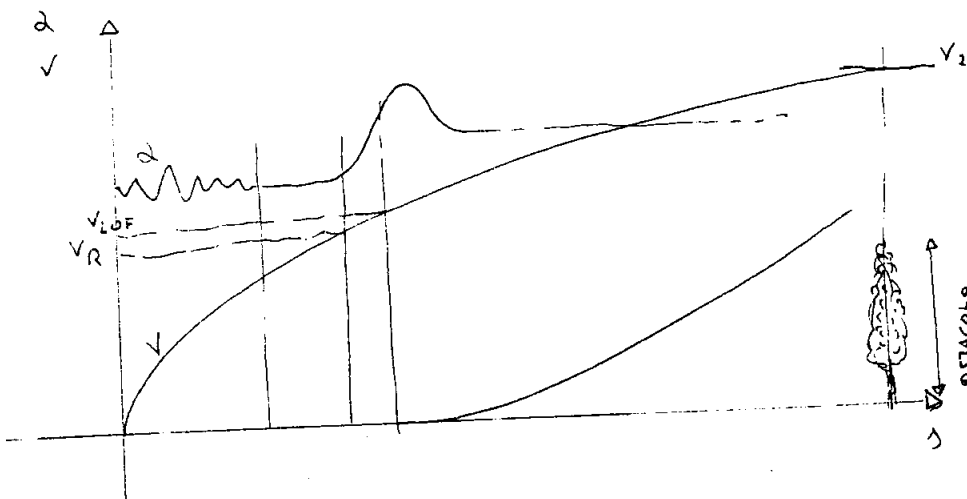
La potenza non varia linearmente con W ed inoltre è più sensibile a b_e che a f ; una variazione percentuale su b è 6 volte più efficace della stessa percentuale su f . Se dopo le prove di volo le caratteristiche di salita non vanno bene, tra le varie correzioni (elica, finitura, trimaggio, baricentro molto avanzato) bisogna modificare l'ala; chiaramente converrà intervenire su b e non su f perché più efficace (aumentare f vuol dire aumentare le corde). Analogamente se la velocità di stallo è troppo elevata si aggiunge qualcosa all'apertura alare (in realtà servirebbe S ma si agisce su b per non peggiorare le altre fasi di volo). Chiaramente variando b varia anche la velocità ma le cose non dovrebbero cambiare molto se la curva di potenza è abbastanza piatta.

Quanto detto in termini di apertura alare può essere visto anche dal punto di vista della resistenza perché f è indice di CD_0 mentre b è indice di CD_i ; in corrispondenza del punto P $CD_i = 3CD_0$ quindi conviene agire su CD_i , mentre in corrispondenza del punto E i termini si equivalgono; in realtà si varia ancora b perché in CD_i c'è b^2 .

Prestazioni

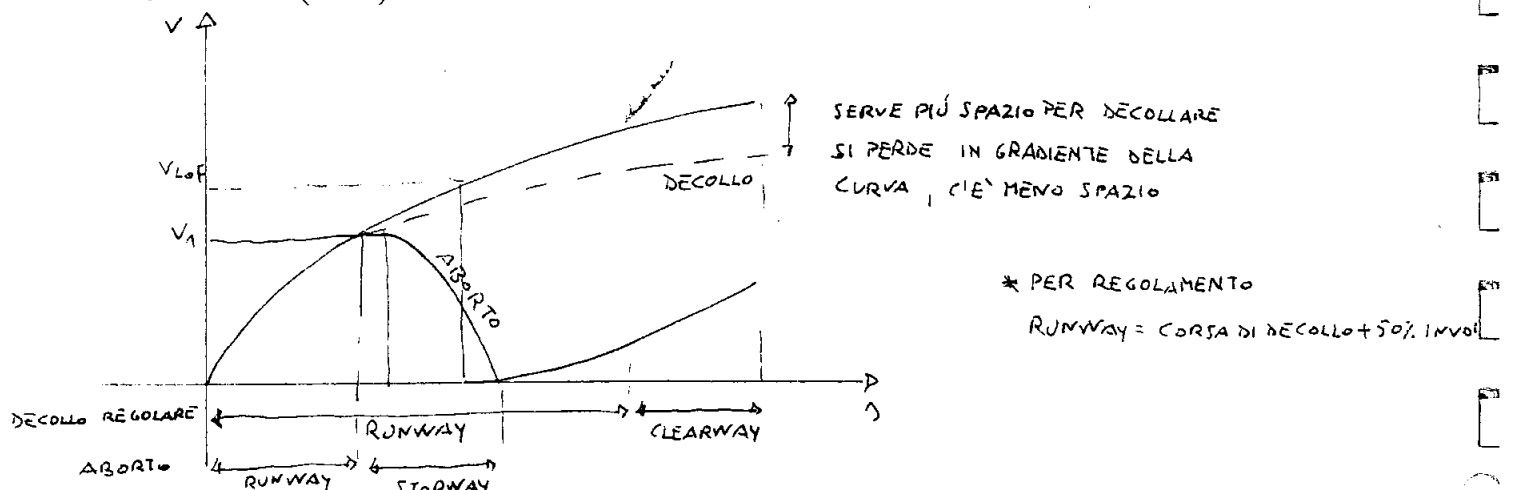
Decollo

Rappresentando l'angolo d'attacco e la velocità in funzione dello spazio percorso si ha:



Dopo un tratto in cui l'angolo d'attacco è pressoché costante, la velocità raggiunge il valore V_R (velocità di rotazione) a partire dal quale il pilota tira la barra e l'aereo ruota; raggiunta la velocità V_{LOF} (lift off) la portanza egualgia il peso ed il velivolo stacca le ruote da terra. La traiettoria dovrà essere curva altrimenti l'assetto è radente (il fattore di carico è >1). V_{LOF} è per regolamento minore di V_2 (velocità di superamento dell'ostacolo), ossia l'involo è accelerato.

Nel caso di un motore in avaria si introduce V_1 (velocità alla quale avviene l'avarìa); il pilota deve decidere se decollare o abortire il decollo. Parametro importante in questo caso è la lunghezza di decollo bilanciata (DDB).

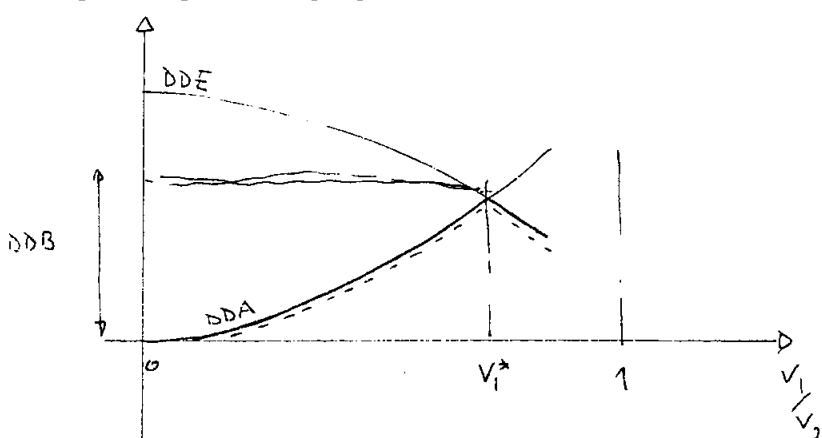


- Runway : parte di pista sulla quale può avvenire il rullaggio sia in decollo che in atterraggio e la consistenza è tale da poter sopportare determinate pressioni specifiche.
- Stopway: parte di pista in cui si può eseguire lo stop, il materiale può essere diverso dalla runway; non è adatta all' impatto (il fattore di carico deve essere 1).
- Clearway: spazio sgombro da ostacoli di dimensioni fissate (può essere anche uno specchio d' acqua) con pendenza non superiore ad una percentuale fissata da regolamento.

DDE: distanza di decollo effettivo (runway+clearway)

DDA: distanza di decollo abortito (runway+stopway)

Quando DDE=DDA si ha DDB; per definizione la distanza di decollo bilanciato è la DDA o la DDE quando queste si egualgano.



Si considerano solo le curve sotto DDB che rappresenta la distanza massima; entra in gioco la scelta dell' aeroporto e quindi in progetto le caratteristiche di decollo limitano l'utilizzo di certi aeroporti. DDB è associata sempre a V_1^* (durante il decollo il secondo pilota chiama la V_1^*); una volta raggiunta il pilota è tenuto a decollare anche se si verifica un' avarìa, prima è obbligato ad abortire. Se la pista è molto lunga -previo accordo- il pilota può abortire anche dopo V_1^* sfruttando il surplus di pista (ci sarà un punto di non ritorno sulla pista).

$$S_{R_{FULL}} = \alpha K^2 \frac{M}{\frac{T_F}{W} - \mu - C_F} \approx \alpha K^2 \frac{M}{\frac{T_F}{W} - 1,5 \mu}$$

In corse di decollo $S_{R_{FULL}}$ ($FULL = Full Power = \alpha$ piena potenza) questa è proporzionale al parametro M (carico di superficie equivalente = $\frac{\text{Peso max del decollo}}{S_W \cdot C_{max}}$) dove C_{max} è

quello che riusciamo a calcolare con i mezzi di calcolo a nostra disposizione, tenendo presente che in pratica il C_{max} sarà sicuramente maggiore, (mai calcoliamo 2, in sede di prove si vede troveremo 2,2). Questo fatto ci dà un buon margine di errore sul calcolo del C_{max} e quindi ci mette al sicuro sui calcoli che si fanno. Il coefficiente α contiene la quota (P_E) e già infatti ($\alpha = \frac{1}{P_E g}$).

$$K = \frac{V_{LOF}}{V_S} = \frac{\text{Velocità al quale si effettua il decollo}}{\text{Velocità di stallo.}}$$

Di solito nei calcoli preliminari si assume $K=1,2$ come se $V_{LOF}=V_2$ dove V_2 deve essere non inferiore a 1,20 V_S per motore ad elice o a getto bimotore, mentre per il quadrimotore a getto può anche essere 1,15; questi valori comunque si trovano sui vari regolamenti. Chiaramente K può essere minore di 1,20, infatti se $V_{LOF} < V_2 \Rightarrow K < 1,20$. Per esempio se V_{LOF} è relazionata alle velocità di rotazione o alle velocità minime di controllo, il rapporto non sempre è 1,20, quindi 1,20 è il valore massimo di K . Se ci troviamo a calcolare il K di un aereo,

plane tipo PG2, questo può essere anche 1,1, cioè
 - l'aereo può staccare le ruote da terra con $V = V_{LOF} = 1,1 V_s$
 - e quindi si ha una corsa di rullaggio più piccola; in
 definitiva V_{LOF} lo sceglio noi sempre che non vi sia
 un regolamento che ci dice quanto deve essere V_{LOF} rispet-
 to a V_s o alle velocità di rotazione o alle velocità minime
 di controllo.

Nelle formule c'è la pista \bar{t}_{FW} è la pista media signifi-
 ficativa, (vedremo in seguito quel'è); c'è ancora il coeff. s'attri-
 to già e ancora ' C_F ' che tiene conto delle resistenze ' C_D ' e
 delle diminuzioni di attrito tra ruote e pista che si veri-
 fica al crescere delle portanze.

Analizzando μ : $\mu = 0,0 \div 0,03 \rightarrow$ piste di cemento
 $\mu = 0,05 \div 0,06 \rightarrow$ piste in terra battuta
 o erba.

$\mu = 0,15 \div 0,20 \rightarrow$ Campi di guerra, sabbia,
 acquitrini.

Comunque in prima approssimazione si considera per μ
 il valore di 0,3, tranne se non si facciano calcoli particolari
 reggiti.

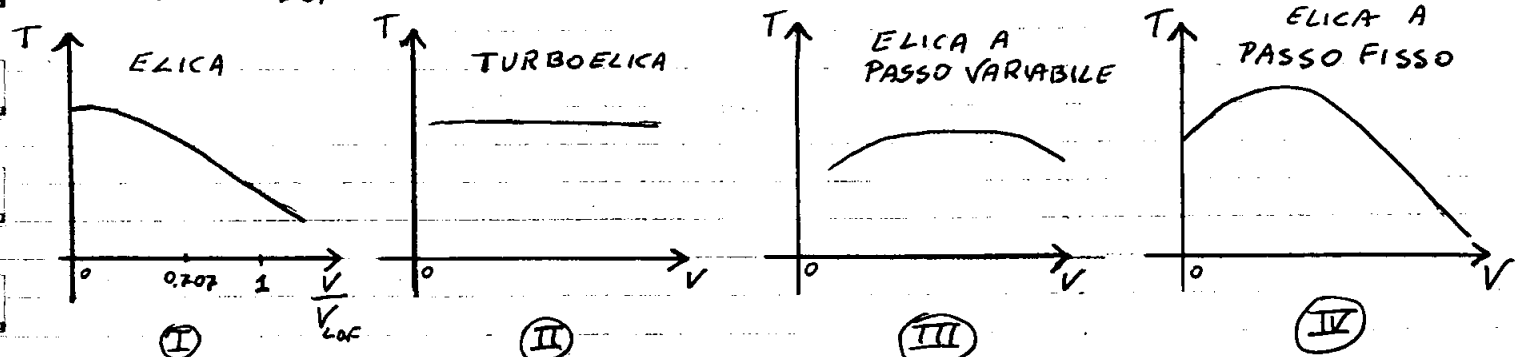
Il coeff. $C_F = \frac{K^2}{2} \frac{C_D - \mu C_L}{C_{LS}}$ potrebbe essere, in sede di proget-
 to, di difficile determinazione in quanto potrebbero non
 essere noti C_D, C_L, C_{LS} . Il prof. GIORDANO lo ha approssima-
 to a $C_F = \frac{K^2}{2} \frac{C_D}{C_{LS}}$ perché ha conti fatti il termine in-
 dubbio di μC_L che quindi si elidono e quindi $\frac{C_D - \mu C_L}{C_{LS}} \approx \frac{C_D}{C_{LS}}$
 ma comunque possiamo non conoscere né C_D e né C_{LS}
 allora per avere un valore di C_F plausibile poniamo

assumere questi C_F pari a $0,5\mu$ e quindi

$-(\mu + C_F) = -1,5\mu$. Comunque per $-(\mu + C_F)$ vanno bene valori nel range $-(1,5 \div 2,0)\mu$; considerando che nel le formule di s_{RFULL} $\bar{T}_F/W \gg -(\mu + C_F)$ allora anche un'errore grande sul numero di $-(\mu + C_F)$ non comporta quasi nulla in termini di s_{RFULL} .

\bar{T}_F è il valore delle spinte medie durante il volo; queste, però, non è la media delle spinte calcolate tra δ e V_{LOF} ma è la media quadratica e cioè calcolate per $V = 0,707 \cdot V_{LOF}$. Questo perché l'equazione di s_{RFULL} è stata dedotta considerando l'equazione della energia che è funzione di V^2 ; infatti C_F dipende da fattori aerodinamici che dipendono da V^2 , il termine $\alpha K^2 M$ dipende da V^2 . Constitutivamente queste formule non è altro che il bilancio di un lavoro, di una forza edimensionale ($\bar{T}_F - 1,5\mu$) per lo spostamento s_{RFULL} , e la variazione di energie cinetica che deve acquisire da δ a V_{LOF} , che ci è data da $(\alpha K^2 M)$. Infatti:

l'energia da acquisire è: $\Delta E = E_{V_{LOF}} = \frac{W}{2g} V_s^2 = \bar{F} s_{RFULL}$
quindi la $\bar{F} = \bar{T}_F$ sarà la media quadratica delle T tra δ e V_{LOF}



Nel caso di velivolo a getto il calcolo è molti più semplice in quanto la spinta è molto più regolare al variare

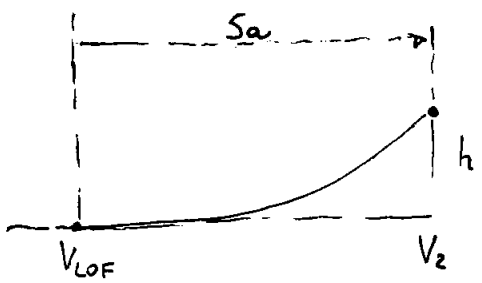
di V . Diventa sempre più complicato il calcolo passando ad un velivolo ad elice a passo variabile e ancora di più se a passo fisso (vedi grafici II, III, IV).

Il grafico IV lo si spiega in quanto alcune eliche sono costruite in modo che per $V=0$ vi è una zona stabile che si riduce all'aumentare di V , questo comporta un aumento di spinta fino ad arrivare ad un valore di V per cui la spinta è massima e poi decresce essendo l'angolo effettivo d'attacco dell'elemento di polo decrescente con la velocità.

Si osserva che, al denominatore, il parametro di spinta domine essendo dell'ordine di grandezza di $0,2 \div 0,30$ anche $0,33$.

Se passiamo alla T.O.R. ONE ENGINE INOPERATIVE si osserva che è composta da due passi. Il primo valido fino alla V_2 (velocità alla quale ci accorgiamo di aver perso il motore) e l'altro da V_2 a V_{20F} . Nel primo passo c'è $K_1^2 = \left(\frac{V_2}{V_S}\right)^2$, nel secondo c'è $(K_1^2 K_2^2) = \left(\frac{V_{20F}^2 - V_2^2}{V_S^2}\right) = \left(\frac{V_{20F}^2 - V_1^2}{V_S^2}\right)$.

Il denominatore cambia in quanto abbiamo nel primo caso \bar{T}_F ($F=FULL$) e C_F nel secondo caso abbiamo \bar{T}_1 e C_1 . Osserviamo che \bar{T}_1 è la metà di \bar{T}_F per un bimotore, $\bar{T}_1 = \frac{2}{3} \bar{T}_F$ per un trimotore, $\bar{T}_1 = \frac{3}{4} \bar{T}_F$ per un quadrimotore. Nel caso peggiore (bimotore) se per esempio $\bar{T}_F = 0.3 \Rightarrow \bar{T}_1 = 0.15$ e se $(1.5\mu) = 0.05 \Rightarrow$ il fattore dipendente da μ diventa confrontabile con quello dipendente da \bar{T} e quindi non sarà più trascurabile. Tutto ciò significa che il secondo termine di s_2 , ha una maggiore importanza rispetto al primo e quindi al percorso fatto con un'unità propulsiva in me-



$$\frac{\text{VARIAZ ENERGIA CINETICA E POT}}{2} = \frac{1}{2} \frac{W}{g} (V_2^2 - V_{\text{LOF}}^2) + W \cdot h$$

$$V_2 = K_2 V_{\text{STO}}$$

$$V_{\text{LOF}} = K V_{\text{STO}}$$

$$\Delta E = \frac{1}{2} \frac{W}{g} V_{\text{STO}}^2 (K_2^2 - K^2) + W h$$

$$= W \left[\frac{1}{g \rho_0 \epsilon} m (K_2^2 - K^2) + h \right]$$

$$V_{\text{STO}}^2 = \frac{2}{\rho_0 \epsilon} \frac{W}{S} \frac{1}{C_{\text{Lmax}}}$$

LAVORO SVOLTO FORZA MEDIA

$$[\bar{F} - D] \cdot S_a \quad D = \frac{1}{2} \rho_0 \epsilon V^2 S \left(C_{D0} + \frac{C_L^2}{\pi A R e} \right)$$

$$\text{Ma } V \approx V_{\text{LOF}} = K V_{\text{STO}} \quad \text{e} \quad C_L = \frac{C_{\text{Lmax}}}{K^2}$$

$$V^2 = K^2 V_{\text{STO}}^2 = K^2 \frac{2}{\rho} \frac{W}{S} \frac{1}{C_{\text{Lmax}}}$$

$$D = K^2 \frac{W}{C_{\text{Lmax}}} \left(C_{D0} + \frac{C_{\text{Lmax}}^2}{K^4 \pi A R e} \right)$$

$$\underline{\underline{\text{Eguagliando}}} \quad \Delta E = [\bar{F} - D] S_a$$

$$S_a = \frac{\frac{1}{g \rho_0 \epsilon} m (K_2^2 - K^2) + h}{\left[\frac{\bar{F}}{W} - \frac{K^2 C_{D0}}{C_{\text{Lmax}}} - \frac{C_{\text{Lmax}}}{K^2 \pi A R e} \right]} \approx \frac{h}{\boxed{\quad}}$$

in quanto $V_2 \approx V_{\text{LOF}}$ (non ha molte energie per accelerare)

$\bar{F} \in T(V)$ a $V = V_{\text{LOF}}$ (4-bis)

- un divento molto più lungo di quello fatto a piena potenza
e portata di incremento di velocità.

Per questo motivo si avrà che nei bimotori la potenza installata è maggiore che per un quadrimotore, infatti per velivoli di linea bimotori si troverà un rapporto spinte/peso dell'ordine di $\approx 0,33$, mentre per un quadrimotore avremo $0,30$. Un altro motivo è quello delle solite che con un moto imperativo sarà + gravoso per il bimotore rispetto agli altri. Un altro motivo ancor più importante è l'atterraggio mancato, perché esistono delle prescrizioni delle normative che dicono qual'è il razzo di solita e le velocità di solita in condizioni di atterraggio (velivolo speso aero-dinamicamente), anche queste condizioni di volo penalizzano molto il bimotore.

- DISTANZA DI VOLO.

Anche questa è ottenuta in una forma lievemente semplificata dove il numeratore è " h " = altezza dell'asta calo, mentre il denominatore è la forza (attiva e passiva).

Come per le T.O.R. 'li' è la variazione di energie (potenziale) mentre ($\frac{\bar{T}}{W} - K^2 \frac{C_{D0}}{C_{Ls}} - \frac{C_{Ls}}{K^2 \pi A_e}$) è il lavoro. Ugualando le variazioni di energie potenziale con il lavoro si ottiene le formule $\text{Si} = \frac{\frac{K^2 - K^2}{B^2 E} m + h}{\frac{\bar{T}}{W} - K^2 \frac{C_{D0}}{C_{Ls}} - \frac{C_{Ls}}{K^2 \pi A_e}} \approx \frac{h}{\frac{\bar{T}}{W} - K^2 \frac{C_{D0}}{C_{Ls}} - \frac{C_{Ls}}{K^2 \pi A_e}}$. (A)

Considerando che $K_h = \frac{V_{ext}}{V_s}$ e $K = \frac{V_2}{V_s}$ se poniamo $V_{ext} = V_2$ allora il termine $(K^2 - K^2) = 0 \Rightarrow$ al numeratore resta solo ' h '.

Nella formula A compare ancora la spinta \bar{T} che non è più la spinta media essendo il razzo da V_{ext} a V_2 percorso a velocità costante (essendo $V_{ext} = V_2$) in quanto nelle fasi di volo

dovranno sollevare e quindi non possono avere ulteriore accelerazione se non minima. Comunque se il relativo ha eccesso di spinta, come quando decolla a piena potenza, questo accelererà ancora mentre se è con un motore inoperativo non può proprio accelerare ma solleverà fino a V_{00} senza accelerare effetto.

Sempre in fase di progetto preliminare la T in queste formule si può considerare pari a T ottenuta a V_{00} , poi abbiamo i termini passivi, il primo $K^2 \frac{C_{00}}{C_{00}}$ è la resistenza passiva mentre l'altro $\frac{C_{00}}{K^2 M_a}$ è la resistenza indotta.

- DISTANZA D, ACCELERAZIONE E ARRESTO (Decollo mancato).

In generale (prima approssimazione) si assume $V_1 = V_B$ ($B = \text{BREAKING}$) = Velocità alle quale inizia la frenata. Se invece si considera che tra V_1 e V_B trascorre un certo tempo t , tempo, per così dire, perso dal pilota nell'attivare la frenata questo ci darà uno spazio aggiuntivo $s = t \cdot V_{\text{media}} \Rightarrow s = t \cdot \frac{(V_1 + V_B)}{2}$. Si definisce lo spazio di accelerazione+arresto e si ottiene dalla formula:

$$S_{\text{acc.-arr.}} = \frac{0.8}{\epsilon} K^2 M \left(\frac{1}{\frac{T_F}{M} - 3,5 \mu} + \frac{1}{\mu_s} \right) t^2 + \frac{8 K^2 M}{V_E}$$

Possiamo osservare che il primo termine nella parentesi riguarda l'accelerazione, il secondo termine riguarda l'arresto mentre il termine fuori parentesi riguarda il tempo trascorso prima che il pilota applichi le frenate, (si assume $t = 2$ sec.), cioè il pilota si accorga delle pietanze motore e dopo 2 sec. applica le frenate. Nella lettura esiste anche un'altra velocità ' V_x ' che è la velocità alla quale realmente piante il motore, ma ai fini del calcolo noi non le consideriamo. La $S_{\text{acc.-arr.}}$ è anche funzione di $t = \frac{V_1 - V_B}{V_E}$

- CORSA D, RULLAGGIO (ONE ENGINE INOPERATIVE)

$$S_{n_1} \approx \alpha M K^2 (b - m\lambda^2) \quad \text{con } \lambda = \frac{V_1}{V_2}; \quad b = \frac{1}{\frac{T_1}{W} - 1.5\mu}$$

$$M = \frac{1}{\frac{T_1}{W} - 1.5\mu} - \frac{1}{\frac{T_E}{W} - 1.5\mu}$$

V.B.) \bar{T}_E e \bar{T}_1 vengono considerate come funzioni di L , anche se le dipendenze non è forte.

- ALCUNI PARAMETRI D, INTERESSE INGEGNERISTICO.

Sono: $\frac{C_{D0}}{C_{Ls}} = \frac{f}{S_e} = \frac{M}{W}$ del quale si osserva che $\frac{C_{D0}}{C_{Ls}}$ può essere scritto utilizzando i parametri M , $\frac{W}{f}$ che sono di maggior interesse per il progettista (specialmente in un'analisi parametrica).

$$\text{Così pure } \frac{C_{Ls}}{A_e} = \frac{S_e}{b_e^2} = \frac{W/b_e^2}{W/S_e} = \frac{W/b_e^2}{M} \text{ dove } \begin{cases} f = \text{area parallelogramma} \\ S_e = S C_{Ls} \end{cases}$$

Ancora, nel calcolo delle distanze di invio si può assumere che: $K^2 \frac{C_{D0}}{C_{Ls}} \approx \frac{1}{2} \frac{C_{Ls}}{K \pi A_e}$ questo è un valore indicativo (se non c'è nessun altro modo per calcolare tali valori).

V.B.) Di tutte queste formule non fa niente se non si ricorda, ma, la cosa importante è ricordare che il denominatore di queste formule vi è una forza che incide di pienata motore, per un binomotore, queste non si riducono, diventa quasi $1/3$. Infatti se $\frac{\bar{T}_E}{W} = 0,30$ e $2,0\mu = 0,06 \Rightarrow \frac{\bar{T}_E}{W} = 2,0\mu = 0,24$, Se un motore piena $\frac{\bar{T}_1}{W} = 0,15$ mentre $2,0\mu = 0,06 \Rightarrow \frac{\bar{T}_1}{W} - 2,0\mu = 0,09 \leftarrow \text{è quasi } \frac{1}{3} \text{ di } 0,24$.

N.B.) Tutto ciò che bisogna assolutamente sapere è nelle pagine seguenti

DECOLLO

TUTTO M. L.

$$T.O.R. (\text{TAKE OFF RUN}) = f\left(\frac{T_0}{W}, m, \frac{W}{b_e^2}, \frac{W}{f}, \lambda, \mu, z, ISA\right) \quad \lambda = \frac{V_1}{V_2}$$

- 1) decresce al crescere di T_0/W , quasi iperbolicamente in FULL POWER, più fortemente in ONE ENGINE INOPERATIVE (O.E.I.), partic. se bimotore;
- 2) cresce linearmente con m , salvo piccolo effetto (sempre a crescere) dovuto a \bar{T} ed a c ;
- 3) poco sensibile (a crescere) a W/b_e^2 in F.P., sensibile ma non troppo in O.E.I.;
- 4) poco sensibile a W/f , a decrescere, in F.P., sensibile in O.E.I.;
- 5) cresce con μ, z, ISA^+ ;
- 6) cresce decresce di λ .

$$SPTZIO DI VOLO (AIRBORNE DISTANCE) = f\left(\frac{T_0}{W}, m, \frac{W}{b_e^2}, \frac{W}{f}, z, ISA\right)$$

- 1) decresce al crescere di T_0/W , quasi iperbolicamente in F.P., più fortemente in O.E.I., particolarmente se bimotore;
- 2) poco sensibile, a crescere, a m in F.P., sensibile in O.E.I. partic. se bimotore;
- 3) cresce con W/b_e^2 , più fortemente in O.E.I.;
- 4) decresce con W/f ma non fortemente in F.P.;
- 5) cresce con z e ISA^+ .

$$DDE (\text{DISTANZA DECOLLO EFFETTIVA}) = T.O.R. + A.D. = f\left(\frac{T_0}{W}, m, \frac{W}{b_e^2}, \frac{W}{f}, \mu, z, ISA, \lambda\right)$$

- 1) decresce con T_0/W , quasi iperbolicamente in F.P., più fortemente in O.E.I., partic. se bimotore;
- 2) cresce quasi linearmente con m : effetti non-lineari, lievi, introdotti da \bar{T} e dai termini accostinuativi, globalmente in funzione a crescere;
- 3) cresce con W/b_e^2 , più fortemente in O.E.I.;
- 4) poco sensibile, a decrescere, con W/f , più fortemente in O.E.I.;
- 5) cresce con μ, z, ISA^+
- 6) cresce al decrescere di λ .

$\frac{T_0}{W}$ = Spinta Specifica di stallo; T_0 = Spinta nominale del motore.

$V_s = 4\sqrt{m}$ = velocità calibro di stallo

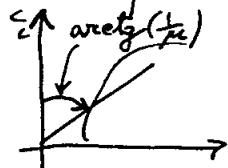
Per velivoli con ruotino di prua, l'arresto è piccolo e resta più o meno costante durante tutte le corse di rullaggio; questo è uno dei motivi per cui i velivoli con ruotino di prua hanno corse di rullaggio più piccole di quelli a ruote.

posteriore, infatti questi ultimi, nelle prime fasi hanno un coeff. di resistenza aerodinamica grande, poi alza la coda e si mette in linea di volo.

Esiste la possibilità di ottimizzare l'arresto in fase di rullaggio che si ottiene sulla parabola quando la tangente trigonometrica dell'angolo formato da una retta passante per l'origine e l'asse del C, è uguale a $\frac{1}{\mu}$ quindi se $\mu = 0,02$ per ottimizzare il decollo basta considerare un angolo pari a $\text{arctg}(50)$; in questi casi avremo un arresto piccolo. Se abbiamo $\mu = 0,1$ l'arresto dovrebbe essere di ~~di~~ $\text{arctg}(10)$ e questi si trova circa all'arresto di efficienza massima.

Se quindi si volesse decollare da zone con perimetro vicino ma sistema il velivolo con ruotino anteriore si rebbe penalizzati essi (si potrebbe anche rompere il ruotino se "scchieppa" una buca) in questi casi il progetto dovrebbe essere orientato verso il ruotino posteriore. Per questo motivo tutti gli aerei della II guerra mondiale erano a ruotino posteriore.

N.B.) Se uno dice "Senti, se aumenti 'b' che succede alle T.O.R.?" Risposta: "Assai niente!" Fermo restante la S_v , V_s , quindi se aumenta l'allungamento le T.O.R. praticamente non lo sente, tutt'al più in Facc.



POWER. Sicuramente lo sente un po' in O.E.I.

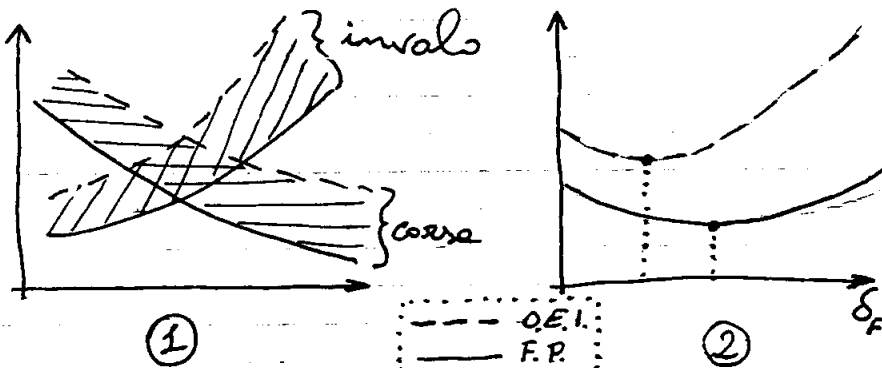
N.B.) Se un altro dice "Se aumento 'b' le distanze di involo che fa? Migliora o peggiora?" Risposta: "MIGLIORA! perché aumentando 'b' diminuisce la resistenza indotta, siccome sono in realtà due le resistenze indotte ha un peso notevole ecco che è migliore"

ANGOLAZIONE OTTIMA DEL FLAP Al Decollo

19/02/2003

Dai grafici ① e ② si vede che esiste una distanza minima di decollo effettiva sia in F.P. =

= (Full Power) che in O.E.I. =



= (ONE ENGINE INOPERATIVE). Per esempio dal grafico ② se esaminiamo le curve delle corse al vario dell'inclinazione del flap, queste decresce sempre perché al crescere di δ_f aumenta il $C_{L\max}$ e quindi si riduce la V_s e quindi si riduce l'energia cinetica che devo acquisire, (si ricca M , non solo, ma varia anche C_F e \bar{T}_F), infatti è proprio l'aumento di C_F che riduce (all'aumentare di δ_f) le accelerazioni nelle corse, le curve si appiattiscono. Tutto questo è vero anche in O.E.I. ma le curve solo, al variare di λ e può prendere una qualsiasi posizione all'interno delle zone tratteggiate, tutto dipende solo da λ . Passiamo all'involo e qui possiamo osservare che le curve cresce all'aumentare di δ_f perdendo l'efficienza

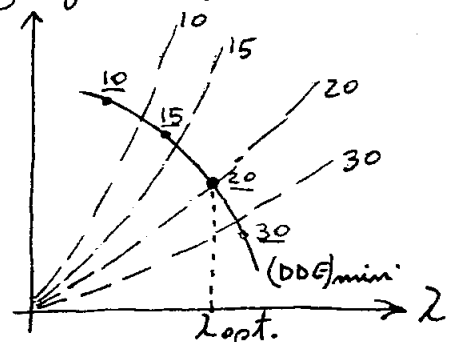
aerodinamica si abrase, quindi aumenta sia la resistenza indotta che il C_D con un minimo che praticamente sta a $\delta_F = 0$, tranne in alcuni spaziici così che piccoli δ_F possono migliorare l'efficienza aerodinamica. Facendo le somme delle curve delle corse e quelle dell'involo del grafico ② ottieniamo le curve del grafico ③ che presentano un minimo in corrispondenza del $\delta_{F, \text{opt}}$, avremo due valori uno in F.P. e un altro in O.E.I. Quindi al variare di λ avremo $\delta_{F, \text{opt, O.E.I.}} < \delta_{F, \text{opt}} < \delta_{F, \text{opt, F.P.}}$. Si avrà che se $\delta_{F, \text{opt, F.P.}} \approx 20^\circ$ si avrà che $\delta_{F, \text{opt, O.E.I.}} \approx 15^\circ \div 17^\circ$. Per le dipendenze da λ si ha che $\lambda \uparrow \Rightarrow \delta_{F, \text{opt.}} \uparrow$. Queste non sono che il progettista deve sapere, ma se non si sa fare nessun conto può assumere $\delta_{F, \text{opt, O.E.I.}} \approx 15^\circ \div 20^\circ$. Quando l'aereo decolla impone i flap a $\delta_{F, \text{opt, O.E.I.}}$ anche se a piena potenza mettendo così in sicurezza per eventuali piantate motore.

- DISTANZA D. DECOLLO ABBORTITO (D.D.A.)

Vedere degli appunti del prof. Giordano.

- DISTANZA D. DECOLLO BILANCIATA (D.D.B.)

È funzione degli stessi parametri delle corse e dell'involo, ma con delle piccole variazioni. La domanda è: "Esiste una (D.D.B)_{min}?" La risposta è SÌ! Se uno dovesse trovarla bisogna riportare sul grafico ③ le (D.D.B)_{min} in funzione di λ indicando i vari δ_F (num. sottolineati sul grafico), poi tracciamo le curve delle DDA in funzione di λ e parametrizzate



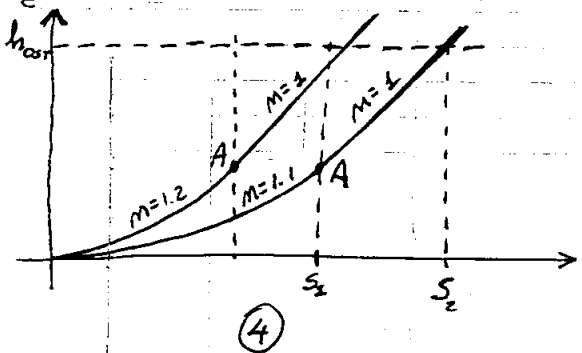
con S_F (num. non sottolineati). A questo punto si va a cercare le curve di DSA di un certo angolo δ_F che incontrano le curve dei DD_{EXW} nel punto di pera S_F (Nel nostro caso 20°). Quindi mettendo il flap a 20° e mettendo le $V_1 = 2_{opt} V_2$ "targhette" a bordo del velivolo avremo le DD_{Bmin} . Questo procedimento grafico può essere ottenuto anche analiticamente.

N.B.) Nelle pagine successive c'è tutto quello che bisogna sapere.

N.B.) Anche la distanza di involo può essere minimizzata, suspendendo tutti delle manovre.

Osserviamo nel grafico (4) che l'involo può essere generalmente suddiviso in due parti. La prima parte (raccordo) dove l'aereo stazza

le ruote da terra e vola con $M > 1$ fino ad arrivare al punto A dove continua a volare ma con $M = 1$, così facendo continua ad accelerare. Il punto più critico è il punto A dove bisogna effettuare il bilancio tra le spinte, il peso e l'angolo di salita; quindi se consideriamo le spinte massime avremo un "n" al di sopra del quale non potremo volare altrimenti non riusciamo più a sollevare l'aereo torna pericolosamente verso il basso. Considerando il bilancio sopra detto si può avere S_1/S_2 , fissata la V_2 , le spinte, $W/B = (Cores di apertura quadratico) e M$, ma principalmente λ , dove S_1 è la distanza raccordata e S_2 è quella totale (Vedi graf. (4)).



DISTANZA DI DECOLLO BILANCIATA (D.D.B)
 (BALANCED TAKE-OFF FIELD LENGTH)

1) E' la DDE o la DDA quando queste due si uguagliano.

$$DDB = DDE = DDA$$

- 2) Ha la peculiarità di essere la minima delle distanze di decollo fattibili operate.
 3) E' stata di una buona precisione velocità di avviazione V_1 , tagliata a bordo e nel manuale di volo, con valore legale. Se durante lo scorrimento del decollo l'avvia di un propulsore arriva a $V < V_1$ il pilota ha l'obbligo legale di arrestare il decollo (abbandonare il decollo); se l'avvia arriva a $V > V_1$ il pilota ha l'obbligo legale di continuare il decollo con un propulsore in avvia, salvo disponibilità di freno motore di finta. Per $V = V_1$ il pilota sceglie comunque, preferendo l'abbandono del decollo in caso di nuovo esercizio di finta (riavvi la stop way...).

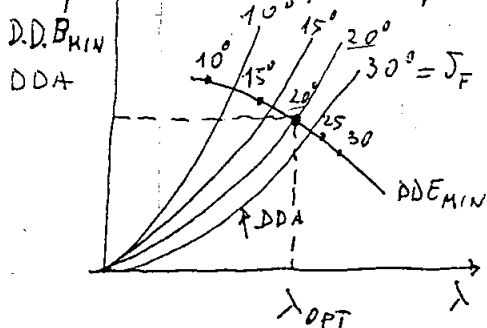
$$DDB = f(T_0/k_r, M, W/b_e^2, W/f, \mu, Z, ISA) \quad \text{Parametri ambientali}$$

Si affossano le considerazioni fatte su DDE e DDA. In conclusione:

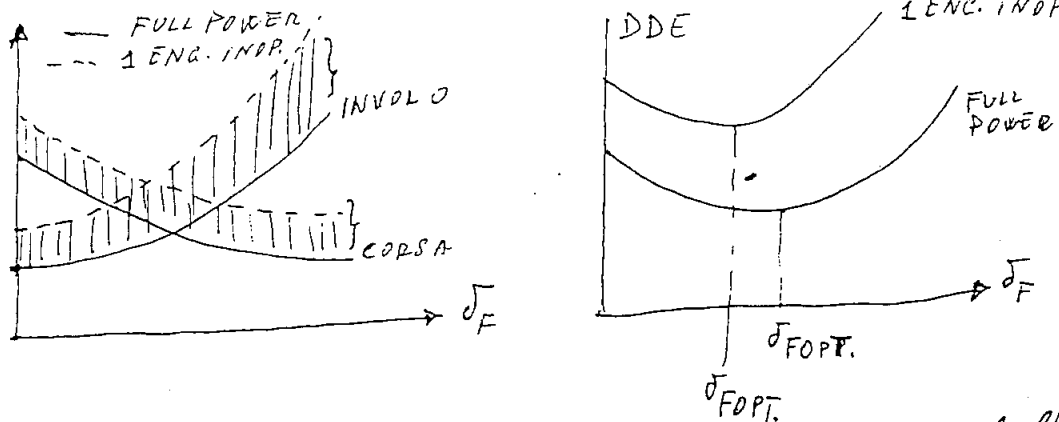
- 1) cresce con T_0/k_r
- 2) cresce con M più rapidamente che con W/b_e^2
- 3) cresce con W/b_e^2
- 4) poco sensibile a W/f (Ricchezza)
- 5) la finta in esercizio ha il valore massimo, infatti a finta in esercizio cresce con le quattro + ISA +
- 6) cresce con le quattro + ISA +
- 7) ha associata comunque una buona determinazione V_1 .

Si può determinare la DDB minima per ogni $\lambda = V_1/V_2$ cercando la riflessione del flap corrispondente, $\delta_{F\text{OPT}}$. Tuttavia si

utilizza la curva DDA compatibile, cioè con lo stesso δ_F . Si indichino con λ_{OPT} e $V_{1\text{OPT}}$; si indichino anche la DDB minima ed il corrispondente $\delta_{F\text{OPT}}$. Tali valori sono quelli che in realtà si progetta veranno assunti in definizione.



ANGOLAZIONE DEL FLAP OTTIMA AL DECOLLO



Dalle formule della corsa e della distanza di volo si evince che l'influenza del flap (termini aerodinamici) è più forte quando la potenza (o la spinta) del motore è più piccola. Da ciò risulta che più cresce la deflessione del flap quando la spinta è più forte. L'andamento qualitativo delle figure mostra che anche un δ_F ottimo. Per quanto sopra detto (e ciò può essere anche ovviamente visto nelle figure) il δ_F cresce con la spinta installata; quindi anche δ_F (FULL POWER) > δ_F (1 ENGINE INOPERATIVE). Si ha anche che δ_F (1 ENG. INOP.) cresce con λ .

DISTANZA DI DECOLLO ABOORTITO (D.D.A.)

$$D.D.A. = f\left(\frac{T_0}{w}, m, \frac{w}{b^2}, \frac{w}{f}, \lambda, \mu, z, ISA\right) \quad \lambda = V_1/V_2$$

- 1) Decresce con T_0/w (quasi ipabolicamente nel termine di costante $T_0/w \dots$)
- 2) cresce con "m" quasi linearmente (effetti non lineari in T_0/w e m sul termine secondo)
- 3) molto poco sensibile a w/b^2
- 4) poco sensibile a w/f (freni aerodinamici ...)
- 5) cresce con λ quasi ipabolicamente (effetti di T_0/w , tempo fra V_1 e V_2)
- 6) l'effetto dell'attacco della pista è: su cenni si ha il minimo DDA, infatti piste in erba e terra battuta, o sabbiate.
- 7) cresce con la quota e ISA⁺.

~~DISTANZA DI DECOLLO ABORTITA (D.D.A.)~~

CORSA DI RULLAGGIO (ALL ENGINES/FULL POWER)
TAKE-OFF RUN

T.O.R.

$$S_{2F\text{FULL}} = \alpha K^2 \frac{m}{\frac{\bar{T}_F}{w} - \mu - c_F} \approx \alpha K^2 \frac{m}{\bar{T}_F/w - 1.5\mu}$$

$$\alpha = \frac{1}{f_0 \varepsilon g} \quad K = \frac{V_{LOF}}{V_S}$$

$$c_F = \frac{K^2}{2} \frac{C_D - \mu C_L}{C_{LS}} \approx \frac{K^2}{2} \frac{C_{D0}}{C_{L0}}$$

T.O.R. (ONE ENGINE INOPERATIVE)

$$S_{21} = \alpha \frac{m}{\bar{T}_F/w - \mu - c_F} K_1^2 + \alpha \frac{m}{\bar{T}_1/w - \mu - c_1} (K^2 - K_1^2) \approx \alpha \frac{m}{\bar{T}_F/w - 1.5\mu} K_1^2 + \alpha \frac{m}{\bar{T}_1/w - 1.5\mu} (K^2 - K_1^2)$$

$$K_1 = \frac{V_1}{V_S} \quad V_1 = \text{ENGINE FAILURE SPEED}$$

DISTANZA DI INVOLTO

$$S_i = \frac{\frac{K_h^2 - K^2}{8f_0\varepsilon} m + h}{\bar{T}/w - K^2 \frac{C_{D0}}{C_{LS}} - \frac{c_{LS}}{K^2 \pi A_e}} \approx \frac{h}{\bar{T}/w - K^2 \frac{C_{D0}}{C_{LS}} - \frac{c_{LS}}{K^2 \pi A_e}}$$

$$K_h(\text{d'arrivo}) = \frac{V_{0ST}}{V_S} \approx \frac{V_2}{V_S} = K_2$$

$K_h \approx K \approx K_2$ nel progetto prelim.

NOTA La \bar{T} è la media quadratica fra le velocità iniziale e finale
Nell'involo \bar{T} può essere assunta a $V_{LOF} \approx V_{0ST} \approx V_2$

DISTANZA DI ACCELERAZIONE E ARRESTO

Si assume $V_1 \approx V_{\text{BRACING}}$ ~~FINO A V_1~~ si ha S_{2F}

Da $V_1 \approx V_B \Rightarrow t = \frac{V_1 + V_B}{2}$. In progetto preliminare $t = t_{\text{acc}}$ $V_1 = V_B$

Da V_B a zero \approx t_{acc} :

$$S_{\text{acc}} = \frac{K_B^2}{f_0 \varepsilon g} \frac{m}{\bar{T}/w + \mu_e + \mu_f}$$

$$K_B = \frac{V_B}{V_S} = K_B' \lambda K_2 ; \quad K_B' = \frac{V_B}{V_1} \approx 1 ; \quad \lambda = \frac{V_1}{V_2}$$

μ_e = coeff. attrito equivalente, in frenata.

$$c_e = \frac{1}{2} (\lambda K_2)^2 \frac{C_D - \mu_e C_L}{C_{LS}}$$

In calcolo preliminare:

$$S_a \approx \frac{\lambda^2 K_2^2}{f_0 \varepsilon g} \frac{m}{\mu_e}$$

$$S_{\text{acc.-arr.}} \approx \frac{0.8}{\varepsilon} K_2^2 m \left(\frac{1}{\bar{T}_F/w - 1.5\mu} + \frac{1}{\mu_e} \right) \lambda^2 + \frac{8\lambda K_2 \bar{T}}{\varepsilon}$$

CORSA RULLAGGIO (ONE ENGINE INOPERATIVE)

$$S_{21} \approx \alpha m K_2^2 (b - m \lambda^2) \quad b = \frac{1}{\bar{T}_1/w - 1.5\mu} ; \quad m = \frac{1}{\bar{T}_0/w - 1.5\mu} - \frac{1}{\bar{T}_F/w - 1.5\mu}$$

NOTA - \bar{T}_F e \bar{T}_1 vanno considerate come funzioni di λ , anche se la dipendenza non è forte.

$$C_{D0}/c_{LS} = \frac{f}{f_e} = \frac{m}{w/f} ; \quad \frac{c_{LS}}{A_e} = \frac{S_e}{b_e^2} = \frac{w/b_e^2}{w/S_e} = \frac{w/b_e^2}{m} \quad S_e = f c_{LS}$$

$$\text{NOTA} - \frac{K^2 C_{D0}}{C_{LS}} < \frac{c_{LS}}{K^2 \pi A_e} ; \quad K^2 \frac{C_{D0}}{C_{LS}} \approx \frac{1}{2} \frac{c_{LS}}{K^2 \pi A_e} \quad (\text{come indicativo})$$

$c_{LS} < C_{D0}$. \rightarrow ≈ 0.5 e quindi il valore di w/f è ragionevole. $K = 1.2$